

国立公衆衛生院 正員 池口 喜
横浜市鶴見第2保健所 石黒高子
国立公衆衛生院 渡辺征夫
国立公衆衛生院 正員 田中 勝

1. まえがき

廃棄物の海面埋立時の分解機構には未だの点が多い。特に海水浸漬部は嫌気的であり、海水を排除しない限り分解は長期にわたる、汚水や分解ガスなどが長期間発生すると想われる。山田等は都市ごみと下水汚泥（消化脱水汚泥）と対象に海水と淡水に浸漬した場合の汚水とガスの排出特性を検討しているが、今後、埋立対象廃棄物として増えが予想される焼却灰や下水汚泥（焼却灰）については従来あまり検討されていない。本研究では、これら廃棄物の特性を把握し、含有水分を変化させて（海水と蒸留水で調整）埋立ての場合の分解特性を、主として発生ガスを測定（量、組成）することによって検討したもので、現在までに得られた知見の一部を紹介する。

2. 実験方法

2.1 実験装置 埋立模型槽は10lの試験ビンである。廃棄物を充てん後、シリコングム栓で密閉した。ゴム栓には三方コックを介して水銀マノメータを取り付け、ガスの発生状態を知ることができるようにした。模型槽は35°Cの恒温水槽に静置した。（図1参照）

2.2 試験廃棄物 実験に用いた廃棄物は焼却灰2種、セメント混練下水汚泥、生ごみ（人工ごみ）である。各々の性状を表1に、模型槽への充てん条件を表2に整理する。揮発性等の種類は省略しておいた。

表1 埋立模型槽の特性

廃棄物	表示記号	水分(%)	強熱減量(%)	元素組成(%)	腐敗性有機炭素(%)	備考
焼却灰①	A1	45.0	12.4 ^(c)	C: 26.91 H: 0.79 N: 0.18	—	2-1-1 廃棄物の形状アッシュ状 混合物、灰以外から採取、浮遊質と不溶物 は除く、未燃の布、紙は一切取り除かず上に加熱
焼却灰②	A2	61.9	32.5	—	0.18	ストーカー焼却炉の焼却灰在庫焼却炉出口 で採取、不燃物は旋風捕集器
セメント混練 下水汚泥	S	66.2	20.3	—	—	脱水度100%で1tに1.5kg以下10t、汚泥 焼却灰10tの割合で混合してモルタルミキシング アシート2-基段階でのみ採取
生ごみ ^(d)	G	74.8	85.2	C: 43.29 H: 5.71 N: 1.19	27.67	人工的に調整製造、試料はMax.2cm角に 切削して用いた。3成分は水84.8%、 可燃物21.5%、灰分3.7%

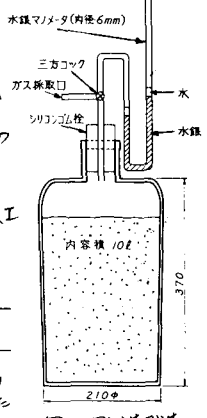


図1 埋立模型槽

- (a) 600°C, 3 hr
- (b) スイス泡立による充量
- (c) 5mm×12mm以上の不燃物
除去後では 15.1%
- (d) 元素組成：腐葉(55%)
新聞紙(35%)、草木(6%)、エタノール(4%)

2.3 発生ガスの測定 マノメータのゲージ圧が正圧を示していふことを確認して、三方コックの一端に注射筒を接続し、ゲージ圧が0となるまでガスを吸引抜き、その量を発生ガス量とした。ガス成分はガスクロマトグラフ（島津製作所製 GC3B T）で分析した。分析条件を表3に示す。

表3 ガスクロマ分析条件

ガス	CO ₂ , O ₂ , N ₂ , H ₂ , CO, CH ₄ , H ₂ S
流量	CO ₂ 50ml/min, 30.0×2m (CO ₂ 用) O ₂ 50ml/min, 30.0×2m (H ₂ , O ₂ , N ₂ , CH ₄ 用)
温度	24°C, 温度: 24°C, キャリガス: Ar 60 ml/min, 排出量: TCD, 電流値: 68 mA
分析時間	約10分

図2-5には発生ガス量の累積値を廃棄物乾燥重量当たりの値として表わしている。A1槽では、水分が多い程発生量は多い。また淡水浸漬の方より海水浸漬の方が発生量が多いのは山田等が都市ごみを用いて行った実験と同様の傾向である。A1-2の発生量が他の

試験	槽番号	充てん条件	Dry wt %	Wet wt %
焼却灰①	A1-1	焼却灰 10.95 kg (Ar)	91.7	45.0
	A1-2	焼却灰 9.95 kg (Ar)	132.0	56.9
	A1-3	焼却灰 10.95 kg (Ar)	132.0	56.9
	A1-4	焼却灰 10.95 kg (Ar)	106.9	51.7
焼却灰②	A2-1	焼却灰 3.85 kg (Ar)	162.4	61.9
	A2-2	焼却灰 3.85 kg (Ar)	162.4	61.9
	A2-3	焼却灰 3.85 kg (Ar)	438.7	81.4
	A2-4	焼却灰 4.92 kg (Ar)	498.7	81.4
汚泥	S-1	汚泥 4.65 kg (Ar)	195.4	66.2
	S-2	汚泥 4.65 kg (Ar)	311.1	75.7
	S-3	汚泥 8.25 kg (Ar)	303.2	75.2
	S-4	汚泥 8.65 kg (Ar)	247.3	71.7
生ごみ	G-1	生ごみ 2kg (Ar)	63.6	74.8
	G-2	生ごみ 2kg (Ar)	63.6	74.8
	G-3	生ごみ 2kg (Ar)	1090.5	91.6
	G-4	生ごみ 2kg (Ar)	693.7	87.4

槽よりも多いのは(槽を解体してわかった事だが)未燃の紙類が池より多く混入していたためと思われる。

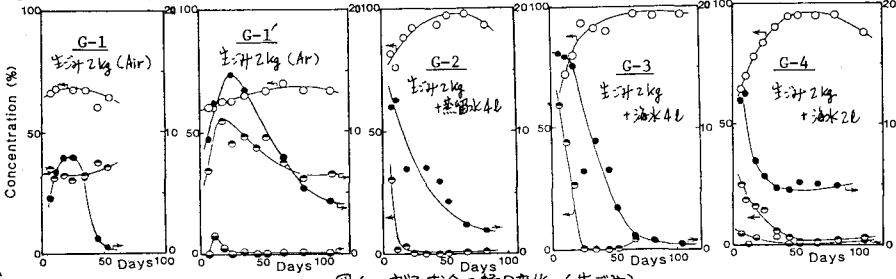
S槽では水分の少ない程、また海水浸漬の方が発生量も多い。これはセメントの硬化特性が槽内の微生物活動に大きく影響していると推測される。有機物量当たりの発生ガス量(標準状態換算値)はA1槽で0.75(A1-4)~3.0(A1-2)l, S槽で0.5(S-4)~2.6(S-1)lである。

G槽では槽のヘッドスペースにArを満たした槽(G-1')から最も多量のガスが発生した。特に最初の10日間に著しく、平均すると1日当たり290 ml/kg乾ごみの発生量である。他槽では20日以後に徐々に差がみられ、淡水浸漬の槽ほど発生量が多い。海水の少ない槽(G-4)の発生量は海水の多い槽(G-3)よりも結果的に多くなる。

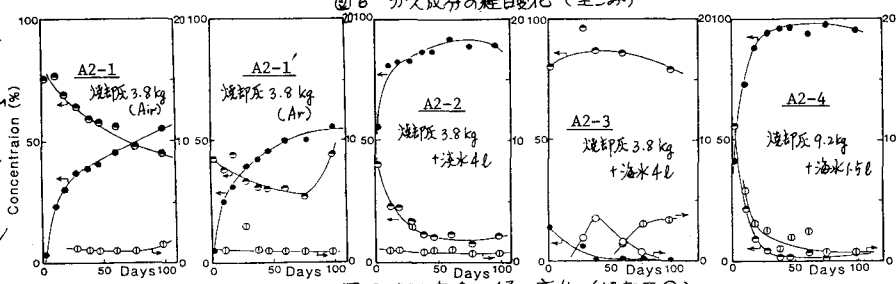
A2槽でもArを満たした槽(A2-1')での発生量が多い。他の槽でA1の場合と傾向が必ずしも一致しないのは、試料の差、固・液比の違いなどが微妙に影響していると思われる。

図6.7にはガス組成

の一例を示す。G槽ではCO₂が60%前後を占め、H₂、O₂、N₂の経日的な減少が特徴的である。H₂の最大値は約15%で早期に急減し、1~5%で



一定となる。約100日までではCH₄は検出されず、次第に酸生成が進行していると推測される。生成された酸の蓄積や酸生成菌とメタン生成菌の増殖アンバランス



により起因してメタン生成の開始が若干遅れているように思える。

A2槽ではH₂が高濃度で検出された。この傾向はA1槽でも同様であった。例外はA2-3でH₂は10%以下と少なく、CO₂がピークを示した後にCH₄の発生がみられ、G.J. Farquharが提唱している埋立地でのガス発生パターンに酷似している。⁽³⁾なお、焼却反槽におけるH₂の発生機構については現在、追実験を行って検討中である。

S槽ではCO₂、CH₄は検出されず、相対的にN₂が高濃度(90%前後)で検出された。

謝辞 本研究は土木学会衛生工学委員会応用研究小委員会(委員長:左合正雄 理科大学教授)で行った研究(厚生省委託 応用最終処分場計画調査、環境保全計画調査)の一環として行ったものである。有益な御助言をいただいた諸先生に心より感謝申し上げる。また、実験に協力された麻布大学環境保健学部学生辻子雅之、山崎朋子両君に紙面を惜りてお詫び申し上げる。

参考文献 (1) 山田等、雨水と海水、Vol.20, No.11, (1979), pp.5~12. (2) 厚生省、二重焼却処理施設のアシジ及びタクトの知見、部分に関する研究、昭和54年3月 (3) G.J. Farquhar, et al., Water, Air, and Soil Pollution, Vol.2, 1973, p.483